

하동 Kaolin으로 부터의 Zeolite 합성 반응 속도

鄭 雨 昌 · 권 이 열 · 金 晃 韶

漢陽大學校 工科大學 化學工學科

(접수 1977. 3. 25)

A Study of the Reaction Kinetics in Zeolite Synthesis from the Hadong Kaolin

Woo-Chang Chung, Ei-Yol Kwon and Myun-Sup Kim

Department of Chemical Engineering, College of Engineering

Hanyang University, Seoul 133, Korea

(Received March 25, 1977)

요 약

우리나라산 하동 kaolin (halloysite)을 과량의 1N수산나트륨수용액으로 60°C, 80°C 및 100°C에 서 1~50시간 처리하여 생성된 무정형 aluminosilicate, sodium A zeolite, hydroxysodalite를

halloysite $\xrightarrow{k_1}$ 무정형 aluminosilicate $\xrightarrow{k_2}$ sodium A zeolite $\xrightarrow{k_3}$ hydroxysodalite
의 반응기구에 적용시켜 각자의 반응속도 정수를 구하였다. 또한 halloysite로 부터 무정형 aluminosilicate로 되는 반응의 activation energy는 10 kcal/mol이고 무정형 aluminosilicate로 부터 sodium A zeolite로 되는 경우는 16 kcal/mol이며 sodium A zeolite로 부터 hydroxysodalite로 되는 경우는 7 kcal/mol임을 알았다.

Abstract

Amorphous aluminosilicate, sodium A zeolite and hydroxysodalite were obtained by treating Hadong-kaolin (halloysite) with 1N aqueous sodium hydroxide solution for one to five hours and with temperature range from 60 to 100°C. The reaction mechanism was observed as first order consecutive reaction as follows:

halloysite $\xrightarrow{k_1}$, amorphous aluminosilicate $\xrightarrow{k_2}$, sodium A zeolite $\xrightarrow{k_3}$, hydroxysodalite
By applying the above reaction mechanism, rate constants and activation energies were measured. The activation energies of the reactions from halloysite to amorphous aluminosilicate, from amorphous aluminosilicate to sodium A zeolite, and from sodium A zeolite to hydroxysodalite were 10 kcal/mol, 16 kcal/mol, and 7 kcal/mol, respectively.

서 론

Kaolin 을 수산화나트륨수용액으로 처리하면 sodium A zeolite 가 생성되며 이 sodium A zeolite는 수산화나트륨수용액의 농도와 처리온도 처리시간등에 따라 다르나 hydroxysodalite로 된다는 것은 잘 알려진 사실이다^{1,2,3)}. Zeolite는 1756년 Cronstedt⁴⁾가 Stilbite를 발견 하므로서 처음으로 인식되었다. 그 후 1948년에 Milton등에 의해 Union Carbide Corporation에서 처음으로 공업적인 연구에 성공한 이래 Molecular Sieve⁵⁾, 촉매^{7,8)}, 이온 교환능⁹⁾, 흡착능¹⁰⁾등의 우수한 성질에 더욱 흥미를 가지게 되었다. Zeolite 합성에서는 주로 일정한 압력 및 온도에서 물의 존재 하에 알칼리 또는 알칼리토금속의 화합물과 산화규소, 산화알루미늄, aluminosilicate 등을 일정시간 반응시키는 방법을 사용하고 있다. 그러나 이와 같은 수열법에 의한 zeolite 합성반응 기구에 대해서는 아직 명확한 해명이 없다.

따라서 본 연구에서는 우리나라 하동산 kaolin 으로 부터의 zeolite 합성 경로를 반응속도론적 으로 조사하고 각 과정에서의 활성화 energy 를 구하였다.

실 험

시료 : 고령토는 우리나라 경남 하동산의 백색의 것으로 그의 화학성분은 Table 1 과 같으며

X선회절도등으로 보아 주로 halloysite라 생각된다. 이 고령토를 110°C에서 1일간 건조하고 분쇄, 수비하여 다시 건조후 사분법으로 200 mesh 통과분을 110°C에서 1일간 건조하였다.

시료의 처리 : 고령토 시료 10 g와 1N수산화나트륨 300 ml를 500 ml round bottom flask에 넣고 heating mantle에 의하여 60, 80, 또는 100°C로 유지시킨후 1~50시간 처리하였다. 이때 환류냉각기를 달고 1분간에 30회의 속도로 교반하여 주었다. 처리물은 원심분리기로 분리하고 씻은액의 pH가 10 이 될때까지 씻어 거르기하여 잔사는 110°C에서, 1일간 건조한 다음에 X선회절도를 얻었다.

X선회절도에 의한 정량 : 시료에 내부표준물로써 α -Al₂O₃를 10% 가해서 얻은 X선회절도의 각 결정의 특성 peak의 넓이로 부터 검량선에 의하여 각 결정의 무게분율을 구하였다. 무정형 aluminosilicate의 무게분율은 1에서 모든 결정의 무게분율을 뺀 것으로 하였다. 특성 peak의 d(Å) 값으로는 halloysite는 4.41, sodium A zeolite는 12.3, hydroxysodalite는 3.63으로 취하였다. 기타 실험은 전보에^{2,11)} 준하였다.

결과 및 고찰

예비실험의 결과 kaolin을 1N수산화나트륨으로 처리하는 것이 가장 적합함을 알았으므로 본 보문에서는 과량의 1N수산화나트륨으로 처리한 결과만을 보고 한다. 본 실험의 처리조건에서는

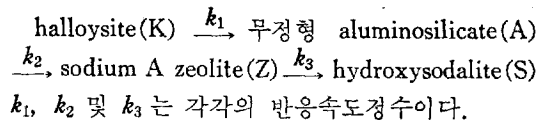
Table 1. Chemical composition of products.

| No. | Treating condition | | Chemical composition | | | | | | Crystalline composition | | | |
|-----|--------------------|-----------|----------------------|------------------------------------|------------------------------------|--------|----------------------|--------------|-------------------------|--------|--------|--------|
| | Temp (°C) | Time (hr) | SiO ₂ (%) | Al ₂ O ₃ (%) | Fe ₂ O ₃ (%) | RO (%) | R ₂ O (%) | Ig. Loss (%) | K* (%) | A* (%) | Z* (%) | S* (%) |
| 1. | Original | Original | 43.2 | 37.1 | 0.1 | 2.0 | 4.2 | 14.3 | 49 | 51 | | |
| 2. | 80 | 6 | 41.1 | 35.2 | 0.1 | 1.9 | 6.1 | 15.1 | 32 | 56 | 12 | |
| 3. | 100 | 26 | 35.8 | 31.7 | — | 1.7 | 13.2 | 16.2 | | 10 | 60 | 30 |
| 4. | 100 | 52 | 36.2 | 33.2 | — | 0.5 | 15.6 | 15.8 | | 2 | 49 | 49 |

K*: Halloysite, A*: Amorphous aluminosilicate, Z*: Sodium A zeolite, S*: Hydroxysodalite.

X선 회절도를 조사한 결과, 결정으로는 halloysite, sodium A zeolite, hydroxysodalite만이 확인되었다. 우리나라 하동산 백색 kaolin을 1N 수산화나트륨으로 60°C, 80°C, 100°C에서 처리한 결과는 Fig. 1, 2, 3과 같다.

처리시간이 길어짐에 따라 halloysite의 결정은 감소하며 무정형 aluminosilicate의 양은 증가하였다가 감소함을 알 수 있었다. Fig. 3에서 무정형 aluminosilicate가 감소함에 따라 sodium A zeolite가 증가하나 일정시간 이후는 다시 감소하는데 이에 따라 hydroxysodalite의 양이 증가함을 현저하게 볼 수 있었다. 이와 같은 경향으로 보아 다음과 같은 추차 반응기구를 가정하였다.



본 실험조건으로는 halloysite로 부터 생성된 무정형 aluminosilicate가 다시 halloysite로는 되지 않았다. 또 대부분의 zeolite 합성반응을 비평형조건에서 이루어 진다¹²⁾는 사실이 알려져 있고 Kerr¹³⁾은 수산화나트륨수용액 중에서 무정형 sodium aluminosilicate로 부터 zeolite A의 합성에서는 sodium aluminosilicate에 관하여 1차반응이라고 하고 있다.

경계조건은 $t=0$ 에서 $K=K_0$, $A=A_0$, $Z=0$, $S=0$ 이다. 여기에서 t 는 시간(hr)이고, K , A , Z , S 는 각각 halloysite, 무정형 aluminosilicate, sodium A zeolite 및 hydroxysodalite의 무게분

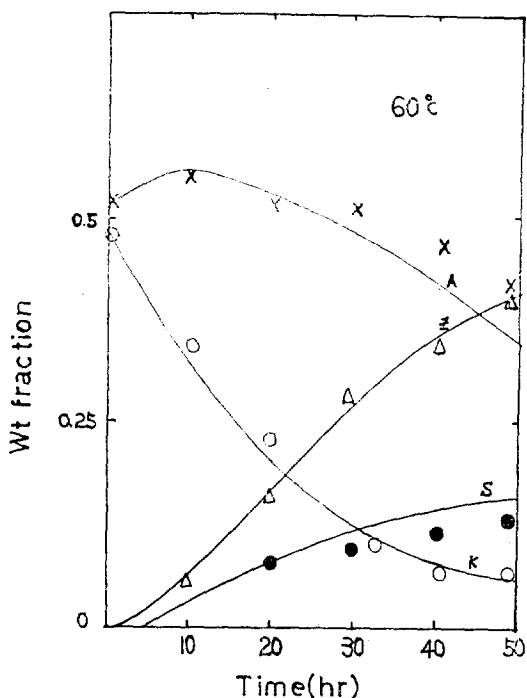


Fig. 1. Effect of reaction time on weight fraction of products treated with 1N NaOH solution at 60°C.

- halloysite, △ sodium A zeolite
- ×
- amorphous aluminosilicate,
- hydroxysodalite.

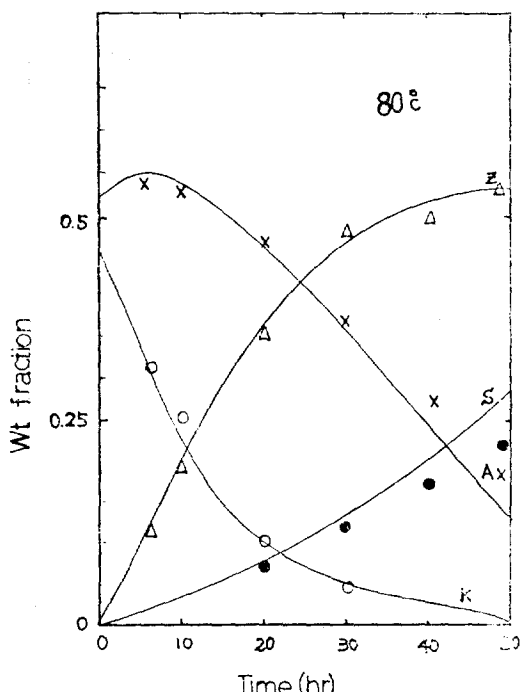


Fig. 2. Effect of reaction time on weight fraction of products treated with 1N NaOH solution at 80°C.

- halloysite, △ sodium A zeolite
- ×
- amorphous aluminosilicate,
- hydroxysodalite.

을이고, K_0 , A_0 는 halloysite와 무정형 aluminosilicate의 초기 무게분율이다.

반응속도식은

$$\frac{dK}{dt} = -k_1 K \quad (1)$$

$$\frac{dA}{dt} = k_1 K - k_2 A \quad (2)$$

$$\frac{dZ}{dt} = k_2 A - k_3 Z \quad (3)$$

$$\frac{dS}{dt} = k_3 Z \quad (4)$$

이며 $A = K_0 + A_0 - K - Z - S$

이다. 이것들을 풀면

$$K = K_0 \exp(-k_1 t) \quad (6)$$

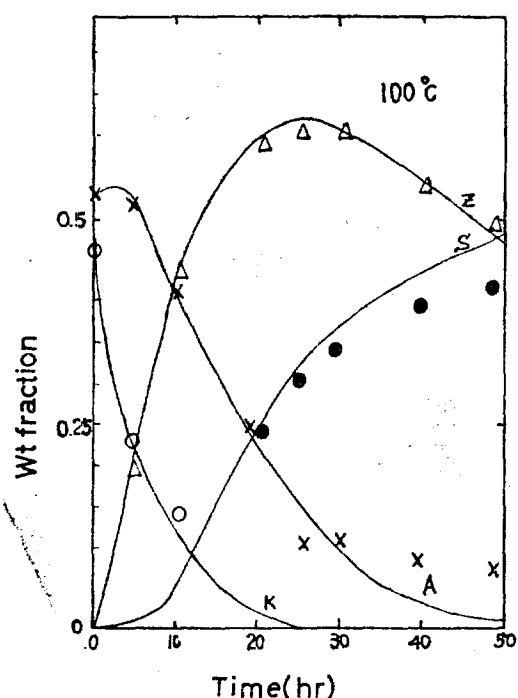


Fig. 3. Effect of reaction time on weight fraction of products treated with 1N NaOH solution at 100°C.

- halloysite, △ sodium A zeolite,
- × amorphous aluminosilicate.
- hydroxysodalite

$$A = \frac{k_1 K_0}{k_1 - k_2} [\exp(-k_2 t) - \exp(-k_1 t)] + A_0 \exp(-k_1 t) \quad (7)$$

$$Z = k_1 k_2 K_0 \left[\frac{\exp(-k_1 t)}{(k_2 - k_1)(k_3 - k_1)} + \frac{\exp(-k_2 t)}{(k_1 - k_2)(k_3 - k_2)} + \frac{\exp(-k_3 t)}{(k_1 - k_3)(k_2 - k_3)} \right] + \frac{k_2 A_0}{k_2 - k_3} [\exp(-k_2 t) - \exp(-k_3 t)] \quad (8)$$

$$S = K_0 \left[1 + \frac{k_2 k_3 \exp(-k_1 t)}{(k_1 - k_2)(k_3 - k_1)} + \frac{k_1 k_3 \exp(-k_2 t)}{(k_1 - k_2)(k_2 - k_3)} + \frac{k_1 k_2 \exp(-k_3 t)}{(k_1 - k_3)(k_3 - k_2)} \right] + A_0 \left[1 + \frac{k_3 \exp(-k_2 t)}{k_2 - k_3} + \frac{k_2}{k_3 - k_2} \exp(-k_3 t) \right] \quad (9)$$

와 같다.

(6)에 의하여 $\log K_0/K$ 대 시간을 plot 한 결과가 Fig. 4이다. 이 그림의 기울기로 부터 구한 각 온도에서의 k_1 값은 Table 2와 같다. 또한 무정형 aluminosilicate의 양이 최고로 되는 처리시간을 $t_{A,\max}$ 라 하고 이 때의 무게분율을 A_{\max} 라 하면 (6)식으로 부터

$$A_{\max} = \frac{k_1 K_0}{k_1 - k_2} \left[\left(\frac{k_2}{k_1} + \frac{A_0 k_2}{K_0 k_1} - \left(\frac{k_2}{k_1} \right)^2 \left(\frac{A_0}{K_0} \right) \right)^{-k_2/(k_2 - k_1)} - \left(\frac{k_2}{k_1} + \frac{k_2 A_0}{K_0 k_1} - \frac{k_2}{k_1} \frac{A_0}{K_0} \right)^{-k_1/(k_2 - k_1)} \right] + A_0 \left(\frac{k_2}{k_1} \right)$$

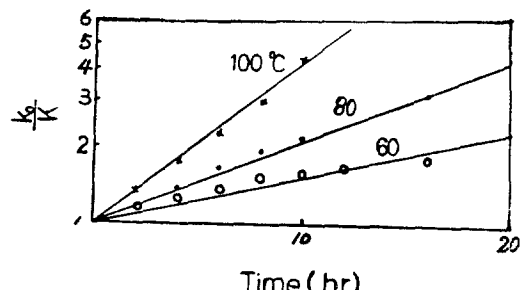


Fig. 4. Plots of K_0/K vs. time.

Table 2. Reaction rate constants

| Temp (°C) | k_1 | k_2 | k_3 |
|-----------|-------|-------|-------|
| 60 | 0.041 | 0.019 | 0.008 |
| 80 | 0.074 | 0.041 | 0.015 |
| 100 | 0.143 | 0.100 | 0.025 |

$$+ \frac{k_2}{k_1} \cdot \frac{A_0}{K_0} - \left(\frac{k_2}{k_1} \right)^2 \frac{A_0}{K_0} \right)^{-k_2/(k_2-k_1)} \quad (10)$$

$$t_{\max} = \frac{1}{k_2 - k_1} \ln \left[\frac{k_2}{k_1} + \frac{A_0 K_0}{k_2 k_1} - \left(\frac{k_2}{k_1} \right)^2 \left(\frac{A_0}{K_0} \right) \right] \quad (11)$$

이다. (11)에 실험값을 대입하여 k_2 를 구하였고 (8)식에 의하여 k_3 를 구하였다. 이들 k_2 와 k_3 의 구한 값은 Table 2와 같다. 이상에서 구한 k 의 값들로 부터 이론적으로 구한 처리시간에 따르는 무게분율의 변화는 Fig. 1, 2, 3에서의 곡선이 고 실험 값은 점들로 표시되어 있다. 이론적으로 계산한 값들과 실험 값이 거의 일치한다는 사실은 반응기구의 가정이 거의 타당하며 구한 k 의 값들이 거의 맞는다는 것을 뜻한다고 생각된다. 그러나 hydroxysodalite의 양은 실험 값에 비하여 오차가 많다. 이것은 sodium A zeolite 가 hydroxysodalite로 될 중간단계로 어떤 형의 무정형 물질이 존재하지 않는가 생각되는데 이의 규명은 못하였다. k 값들로 부터 그린 Arrhenius plot가 Fig. 5이다. 이것에서 halloysite로 부터 무정형 aluminosilicate로 변하는 activation energy는 10 kcal/mol이고, 무정형 alum-

inosilicate로 부터 sodium A zeolite로 변하는 경우는 16 kcal/mol이며 sodium A zeolite로 부터 hydroxysodalite로 변하는 경우는 7 kcal/mol임을 알았다.

Breck¹⁴⁾는 무정형 sodium aluminosilicate로 부터 sodium A zeolite 생성 activation energy는 11 kcal/mol로 기술하고 있는데 이 값이 본 실험에서의 값보다 작은 것은 출발물질이 다르기 때문이라 생각된다.

결 론

우리나라 하동산의 kaolin을 1N수산화나트륨 수용액으로 처리한 시료 중의 무정형 aluminosilicate와 sodium A zeolite, hydroxysodalite의 양을 반응속도론적으로 고찰한 결과 다음과의 결론을 얻었다.

1. Halloysite $\xrightarrow{k_1}$ 무정형 aluminosilicate $\xrightarrow{k_2}$ sodium A zeolite $\xrightarrow{k_3}$ hydroxysodalite의 반응기구를 가진 1차추차반응에 가장 가까운 반응이다.
2. Halloysite, 무정형 aluminosilicate, sodium A zeolite, hydroxysodalite 이외의 다른 결정은 생기지 않았다.
3. 반응속도정수들은 Table 2와 같다.
4. Halloysite가 무정형 aluminosilicate로 되는 반응의 activation energy는 10 kcal/mol이고, sodium A zeolite 생성에서는 16 kcal/mol이고, hydroxysodalite 생성에서는 7 kcal/mol임을 알았다.

인용 문헌

1. D. W. Brack, *J. Chem. Educ.*, **41** (1964), 678.
2. 권이열, 김면섭, “대한화학회지,” **16** (1972), 249.
3. E. P. Flint, W. F. Clarke, E. S. Newman, L. Shartsis, D. L. Bishop and L. S. Wells, *T. Res. Rat. Bur. Stand.*, **36** (1946), 63.
4. A. Cronstedt, Akad. Handl. Stockholm,

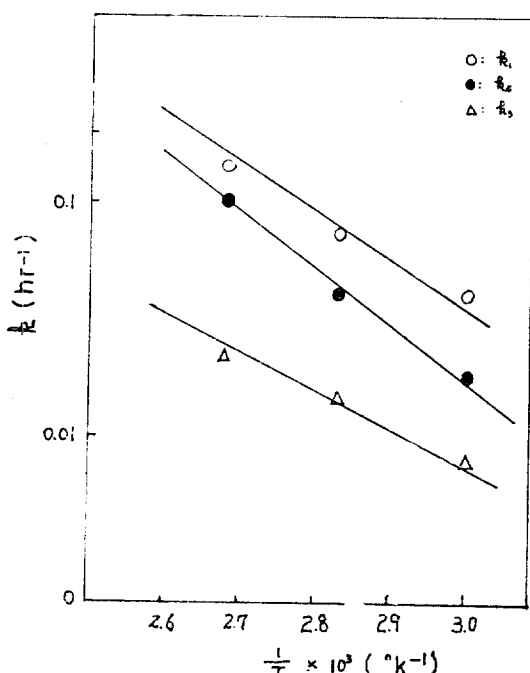


Fig. 5. Arrhenius plots.

- 18 (1956), 120.
5. R. M. Milton, "Molecular Sieves," Society of Chem. Ind., London, 1968, p. 199.
 6. R. M. Barrer, *J. Soc. Chem. Ind.*, **64** (1945), 130.
 7. S. C. Eastwood, R. D. Drew, and F. D. Hartzell, *Oil Gas J.*, **60** (1962), 152.
 8. K. M. Elliott and S. C. Eastwood, *Oil Gas J.*, **60** (1962), 142.
 9. M. Eichhorn, Poggendorf, *Ann. Phys. Chem.*, **105** (1858), 126.
 10. A. Damour, *Ann. Mines*, **17** (1840), 191.
 11. 김면섭, "대한화학회지", **17** (1973), 47.
 12. L. B. Sand, R. Roy and E. F. Osbrn, *Econ. Geol.*, **52** (1957), 169.
 13. G. T. Kerr, *J. Phys. Chem.*, **70** (1966), 1047.
 14. D. W. Breck, "Zeolite Molecular Sieves," John Wiley & Sons, New York, 1974, p. 333.